

## طراحی نشانگر مولکولی اختصاصی سیتوپلاسم نرعقیم PET1 در آفتابگردان

### Designing Molecular Marker Specific to PET1 Male Sterile Cytoplasm in Sunflower

جواد اکبری افجانی<sup>۱</sup>، مسعود سلطانی نجف‌آبادی<sup>۲</sup> و سید رضاقلی میرفخرایی<sup>۳</sup>

۱- به ترتیب دانشجوی کارشناسی ارشد و استادیار، گروه اصلاح نباتات، دانشکده کشاورزی، دانشگاه تربیت مدرس، تهران،

ایران

۲- استادیار، مؤسسه تحقیقات اصلاح و تهیه نهال و بذر، سازمان تحقیقات، آموزش و ترویج کشاورزی، کرج، ایران.

تاریخ دریافت: ۱۳۹۶/۷/۲۰ تاریخ پذیرش: ۱۳۹۷/۲/۲۰

#### چکیده

اکبری افجانی، ج.، سلطانی نجف‌آبادی، م. و میرفخرایی، س. ر. ۱۳۹۶. طراحی نشانگر مولکولی اختصاصی سیتوپلاسم نرعقیم PET1 در آفتابگردان. مجله به‌نژادی نهال و بذر ۱-۳۴: ۴۸۵-۴۹۹. 10.22092/spij.2018.117870

نرعقیمی سیتوپلاسمی - ژنتیکی در تولید بذور هیبرید آفتابگردان به طور گسترده‌ای مورد استفاده قرار می‌گیرد. در آفتابگردان، *ORFH522* موجود در انتهای ۳' ژن *atpA* مسئول فنوتیپ نرعقیمی است. این تحقیق به منظور شناسایی نشانگر مولکولی برای سیستم نرعقیمی سیتوپلاسمی - ژنتیکی PET1 در آفتابگردان صورت گرفت. بدین منظور از پنج لاین نرعقیم، ۲۴ لاین نگهدارنده نرعقیمی و ۳۲ لاین بازگرداننده باروری به عنوان مواد ژنتیکی استفاده شد. توالی مربوط به ژن مذکور در دو سیستم نرعقیم و نربارور از پایگاه اینترنتی NCBI دریافت و پس از هم‌ردیفی آن‌ها، بر اساس ناحیه چندشکلی در توالی‌ها، یک جفت آغازگر طراحی شد. این جفت آغازگر، قطعه‌ای با طول ۱۸۲ جفت‌باز در کلیه لاین‌های دارای سیتوپلاسم نرعقیم تکثیر کرد در حالی که در هیچ یک از بوته‌های دارای سیتوپلاسم نربارور تکثیر نشد؛ بنابراین این آغازگر به عنوان نشانگر سیتوپلاسم نرعقیم معرفی می‌شود. همچنین ثابت شد که تمامی لاین‌های بازگرداننده باروری، دارای سیتوپلاسم نرعقیم هستند. بنابراین این نشانگر می‌تواند در برنامه‌های اصلاحی آفتابگردان در مراحل انتقال سیتوپلاسم نرعقیم به لاین‌های جدید و نیز تولید و خالص‌سازی لاین‌های بازگرداننده باروری به طور مؤثری مورد استفاده قرار گیرد.

واژه‌های کلیدی: آفتابگردان، آغازگر، نرعقیمی سیتوپلاسمی PET1، *ORFH522* و *atpA*

## مقدمه

تولید هیبرید در آفتابگردان (*Helianthus annuus* L.)، زراعت این محصول مهم روغنی را متحول کرده است زیرا ارقام هیبرید باعث افزایش بیست درصدی عملکرد نسبت به ارقام آزادگرده افشان می‌شوند (Leclercq, 1969). تهیه هیبرید آفتابگردان در سطح تجاری، مرهون شناسایی سیستم نرعقیمی سیتوپلاسمی-ژنتیکی و ژن‌های هسته‌ای بازگرداننده باروری در این گونه گیاهی است (Yue et al., 2010). این سیستم در سال ۱۹۶۹ توسط لکلرک کشف شد (Leclercq, 1969). تولید هیبرید در آفتابگردان حاصل تلاقی یک لاین پدری واجد ژن بازگرداننده باروری (لاین رستورر) با یک لاین مادری نرعقیم سیتوپلاسمی است.

نرعقیمی سیتوپلاسمی-ژنتیکی در بیش از ۱۵۰ گونه گیاهی مشاهده شده است (Kaul, 1998). این سیستم در ترکیب با ژن بازگرداننده باروری که در هسته سلول قرار دارد به طور گسترده‌ای در اصلاح نباتات به کار رفته است. نرعقیمی سیتوپلاسمی در گیاهان، فنوتیپی با وراثت مادری است که در خلال آن دانه گرده باروری تولید نمی‌شود (Chen and Liu, 2014). فنوتیپ نرعقیمی با یک ژن میتوکندریایی نابه‌جا مرتبط است. توالی‌های چهارده ژن میتوکندریایی مسئول نرعقیمی سیتوپلاسمی مشخص شده‌اند که اغلب آن‌ها ORF‌هایی (Open reading frame)

متصل به ژن ATP سنتتاز هستند. این ژن‌ها باعث اختلال در وظایف میتوکندری گیاهان می‌شوند ولی تغییری در فنوتیپ عمومی گیاه بوجود نمی‌آورند. لاین‌های نرعقیمی سیتوپلاسمی قادر به تولید دانه‌های گرده زایا نیستند. دلایل این امر رشد و نمو غیرنرمال دانه گرده، زوال پرچم‌ها یا اجزای آن‌ها و یا تغییرات همئوتیک (Homeotic) از جمله تبدیل شدن پرچم به گلبرگ یا دیگر اندامک‌هاست. علل دقیق وقوع جهشی که منجر به نرعقیمی سیتوپلاسمی می‌شود هنوز ناشناخته است، اما در مواقعی که تغییرات همئوتیک اتفاق می‌افتد، ممکن است علامت رتروگراد (Retrograde signal) از میتوکندری ناقص به هسته فرستاده شود و رونویسی ژن‌های هسته‌ای کنترل‌کننده جنسیت اندام‌ها را تغییر دهد (Chen and Liu, 2014)؛ Chase, 2007؛ Zubko, 2004؛ Schnable and Wise, 1998) در برخی گیاهان نرعقیم مانند توتون و گونه‌های براسیکا (Kofer et al., 1991) نموساک دچار تغییرات شدیدی می‌شود، در حالی که در اغلب گونه‌ها، در بوته‌های نرعقیم نموساک نرمال بوده ولی میکروسپوروزنسیس طی مراحل میوز و یا بلافاصله پس از میوز متوقف می‌شود (Kaul, 1998).

در اغلب گونه‌هایی که نرعقیمی در آن‌ها گزارش شده، ویژگی مزبور با بیانیک ORF در ژنوم میتوکندری ارتباط داشته است (Schnable and Wise, 1998). تا به امروز در

مکانیسم مولکولی نرعقیمی سیتوپلاسمی آفتابگردان هنوز دقیقاً مشخص نیست. میتوکنندری گیاهان با مرگ سلولی برنامه‌ریزی شده ارتباط دارد. بالک و لیور (Balk and Leaver, 2001) گزارش کردند که مرگ برنامه‌ریزی شده زودرس سلول‌های تاپتال (Tapetal) در آفتابگردان باعث ایجاد نقص در تولید دانه کرده شده و در نتیجه گیاه نرعقیم می‌شود. با توجه به این که ژن *atpA* یکی از زیر واحدهای ATPase است، سابار و همکاران (Sabar et al., 2003) نشان دادند که سیتوپلاسم نرعقیم PET1 با کاهش هیدرولیز ATP مواجه شده و از آنجایی که توسعه دانه کرده نیاز به انرژی زیادی دارد، گیاهان دارای سیتوپلاسم PET1 نرعقیم هستند. ناکای و همکاران (Nakai et al., 1995). نیز با اثبات اثر سمیت پروتئین تولید شده از ORFH522 بر روی باکتری *Escherichia coli* و با توجه به این که میتوکنندری نیز منشأ باکتریایی دارد، علت بروز فنوتیپ نرعقیمی را ایجاد سمیت این پروتئین ذکر کرده‌اند.

گزارش‌هایی مبنی بر وجود ژن‌های عامل نرعقیمی در هسته (Nuclear male sterility) آفتابگردان منتشر شده است. پرز-ویچ و همکاران (Pérez-Vich et al., 2005) وجود این نوع ژن‌ها را در آفتابگردان گزارش و برای آن‌ها نشانگرهای ریز ماهواره معرفی کردند. گنگ و همکاران (Gong et al., 2014) با استفاده از شیوه تجزیه بالک در حال تفرق

آفتابگردان بیش از هفتاد منبع نرعقیمی مختلف شناسایی شده است (Serieys, 1999)، ولی در تولید تجاری هیبرید از سیستم سیتوپلاسم PET1 استفاده می‌شود (Leclercq, 1969). توالی‌یابی ORF‌های مذکور، مسیر را برای طراحی نشانگرهای مناسب جهت غربال گونه‌های نرعقیم سیتوپلاسمی تسهیل می‌کند. سیستم PET1-CMS در آفتابگردان در یک تلاقی بین گونه‌ای بین *H. annuus* و *H. petiolaris* شناسایی شده است (Leclercq, 1969). این پدیده با بیانیک ژن میتوکندریایی در آفتابگردان به نام *ORFH522* که پلی‌پپتیدی با وزن مولکولی پانزده کیلو دالتون را رمز می‌کند مرتبط است (Laver et al., 1991; Moneger et al., 1994; Horn et al., 1991). *ORFH522* به واسطه یک نوترکیبی از نوع بازآرایی واژگونی / الحاق در ناحیه ۳' ژن *atpA* ایجاد شده است که بیان دیسیسترونیک (Dicystronic) آن‌ها باعث ایجاد نرعقیمی می‌شود (Laver et al., 1991; Horn et al., 1991). سیتوپلاسم نرعقیم دیگری که در آفتابگردان شناسایی و با نام PEF1 معرفی شده است، حاصل تلاقی بین گونه‌ای *H. petiolaris* spp. با *H. annuus fallax* است (Serieys and Vincourt, 1987). در سیتوپلاسم PEF1، اثری از *ORFH522*، که مشخصه خاص سیتوپلاسم PET1 است، وجود ندارد (Horn, 2002).

آفتابگردان بود. به این منظور با استفاده از پایگاه‌های اطلاعاتی موجود در زمینه لوکوس مسبب نرعقیمی سیتوپلاسمی در آفتابگردان، اقدام به طراحی آغازگرهای مناسب و غربالگری لاین‌های نرعقیم سیتوپلاسمی شد. با استفاده از این نشانگر می‌توان در مرحله گیاهچه، از لاین‌ها DNA را استخراج و نوع سیتوپلاسم آن‌ها را مشخص کرد.

### مواد و روش‌ها

#### مواد گیاهی و شرایط کشت

در این تحقیق، از پنج ژنوتیپ نرعقیم (A-Line)، ۲۴ ژنوتیپ نگهدارنده نرعقیمی (B-Line) و ۳۲ ژنوتیپ بازگرداننده باروری (R-Line) آفتابگردان استفاده شد. این لاین‌ها در مزرعه پژوهشی مؤسسه تحقیقات اصلاح و تهیه نهال و بذر در سال ۱۳۹۴ کشت شدند. لاین‌های نرعقیم، فاقد گرده و لاین‌های نگهدارنده و بازگرداننده باروری دارای گرده بودند. وقتی بوته‌ها به مرحله چهار برگی رسیدند، از جوان‌ترین برگ برای استخراج DNA نمونه‌گیری شد.

#### استخراج DNA

DNA ژنوتیپ‌ها با استفاده از روش CTAB با انجام تغییراتی استخراج شد (Li *et al.*, 2007). لازم به ذکر است که در مراحل استخراج DNA ژنومی، DNA میتوکندریایی نیز استخراج می‌شود. به‌منظور

(Bulk segregant analysis) و دو گروه ژنوتیپ نربارو و نرعقیم، تعداد زیادی نشانگر ریز ماهواره را آزمون کردند و پیوستگی هشت لوکوس نشانگر را با ژن‌های عامل نرعقیمی هسته‌ای گزارش کردند. با وجودی که توالی عامل نرعقیمی سیتوپلاسمی در آفتابگردان سال‌هاست که شناخته شده است (Köhler *et al.*, 1991)، گزارشی مبنی بر طراحی نشانگرهایی برای متمایز کردن سیتوپلاسم نرعقیم از نربارور در دسترس نیست. برای مثال شنابل و همکاران (Schnabel *et al.*, 2008) بر اساس توالی‌های لوکوس *atp9* و *orfH522* اقدام به طراحی نشانگری مولکولی جهت متمایز کردن سیتوپلاسم PET1 از سیتوپلاسم PEF1 و سیتوپلاسم بارور کردند.

مراحل تولید لاین‌های مناسب که بتوانند به عنوان والد مادری در فرایند تولید ارقام هیبرید وارد شوند، مستلزم شناخت دقیق از وضعیت سیتوپلاسم نرعقیم آن‌ها است. این شناخت نیازمند کاشت آن‌ها و بررسی فنوتیپ نرعقیمی یا باروری بوته‌ها در مرحله گلدهی بوده و زمان بر است. چنانچه بتوان با بررسی‌های کوتاه مدت و البته دقیق به شناخت مذکور دست یافت، علاوه بر صرفه‌جویی در هزینه‌ها، در زمان کوتاهی وضعیت بسیاری از لاین‌ها از نظر وجود عامل نرعقیمی در سیتوپلاسم تعیین می‌شود. هدف این تحقیق، طراحی و شناخت نشانگرهای مولکولی برای عامل نرعقیمی در سیتوپلاسم

چرخه در  $94^{\circ}\text{C}$  به مدت سی ثانیه،  $52^{\circ}\text{C}$  به مدت سی ثانیه،  $72^{\circ}\text{C}$  به مدت سی ثانیه؛ و سرانجام  $72^{\circ}\text{C}$  به مدت ده دقیقه. فرآورده‌های حاصل از PCR بر روی ژل آگارز دو درصد بارگیری شدند و قطعات به کمک Safestain (ساخت شرکت سیناکلون) رنگ آمیزی و به کمک نور UV قابل رویت شدند.

### نتایج و بحث

اسامی و ماهیت مواد ژنتیکی مورد استفاده در جدول ۱ و مشخصات آغازگرهای طراحی شده برای شناسایی لاین‌های دارای سیتوپلاسم نرعقیم در جدول ۲ آورده شده است.

بر اساس نتایج به دست آمده (شکل ۱) توالی انتهای ۳' ژن *atpA* در دو گیاه نرعقیم و بارور با یکدیگر متفاوت بود و این بیانگر وجود ORFH522 در گیاه نرعقیم است. هر کدام از این توالی‌ها (X55963 و X53537) از دو CDS تشکیل شده که یکی از آن‌ها مربوط به ژن *atpA* و دیگری مربوط به ORFH522 است. این دو ژن به صورت دی‌سیسترونیک بیان می‌شوند.

نتیجه هم‌ردیفی بین توالی گیاه نرعقیم و نربارور (شکل ۱) نشان می‌دهد که از ابتدای کدون آغاز ORFH522، در سی نوکلئوتید بین گیاه نرعقیم و نربارور شباهت وجود دارد و مابقی آن‌ها متفاوت است. آغازگرهایی بر اساس تفاوت این دو توالی طراحی شد که در جدول ۲ ارائه شدند. این آغازگرها بر اساس

بررسی وضعیت DNA استخراجی از نظر غلظت و خلوص آن از دستگاه اسپکتروفتومتر Cadex مدل SB038 استفاده شد. وضعیت DNA استخراجی روی ژل آگارز یک درصد مورد بررسی قرار گرفت.

### بررسی‌های بیوانفورماتیک

توالی‌های نوکلئوتیدی مربوط به عامل عقیمی سیتوپلاسمی (فرم نرعقیم) و مربوط به سیتوپلاسم‌های نرمال (فرم نگه‌دارنده) به ترتیب با شماره دسترسی X55963 و X53537 (Köhler *et al.*, 1991) از پایگاه اینترنتی NCBI گرفته شد. از آن‌جا که عامل ایجاد سیتوپلاسم نرعقیم، ایجاد جهش‌هایی در انتهای ۳' ژن *atpA* در میتوکندری و به وجود آمدن ORFH522 است (Köhler *et al.*, 1991). انتهای ۳' ژن این توالی‌ها با استفاده از نرم‌افزار MegAlign نسخه ۷ مورد هم‌ردیفی قرار گرفت و بر مبنای ناحیه چندشکلی، یک جفت آغازگر با استفاده از نرم‌افزار Primer3 (<http://primer3.ut.ee/>) طراحی شد.

### واکنش زنجیره‌ای پلی‌مراز (PCR) و

#### الکتروفورز

جفت آغازگر F/R ORFH522 برای یافتن تمایز نواری بین لاین‌های نرعقیم، نگهدارنده و بازگرداننده باروری در واکنش PCR با نیم رخ حرارتی زیر مورد استفاده قرار گرفتند:

دمای  $94^{\circ}\text{C}$  به مدت پنج دقیقه؛ سی و پنج

جدول ۱- اسامی و ماهیت مواد ژنتیکی مورد استفاده

Table 1. Name and nature of the genetic materials

نام لاین Line name	ماهیت ژنتیکی Genetic nature	نام لاین Line name	ماهیت ژنتیکی Genetic nature
BF181-436	B-Line	B4-5	B-Line
BF81-196	B-Line	B8-1	B-Line
B Line 1221	B-Line	B2-1	B-Line
BF80-427/1/3	B-Line	B3-2	B-Line
BF820436/1/3	B-Line	BF82-067	B-Line
BF80-420/1/1	B-Line	AF80-427	A-Line
BF810029/1/1	B-Line	CMS 19	A-Line
BF82-042/2/1	B-Line	AF82060	A-Line
BF82-06	B-Line	AF82042	A-Line
BF82-067/1/1	B-Line	AF81067	A-Line
BF80-501/1/1	B-Line	RF81-131/1	R-Line
BF82-060/2/1	B-Line	RF81-2201	R-Line
BF80-533/1/1	B-Line	RF81-137/1	R-Line
BF82-061	B-Line	RF81-25	R-Line
BF82-061	B-Line	RF81-74	R-Line
BF81-131	B-Line	RF81-30	R-Line
B9-2	B-Line	RF81-1/601	R-Line
B9-3	B-Line	RF80-427	R-Line
B4-1	B-Line	RF81-1-601	R-Line
RF81-1/2	R-Line	RF81-25	R-Line
RF82-A0636	R-Line	RF81-82	R-Line
RF81-74	R-Line	RF80-501	R-Line
RF81-82	R-Line	RF81-65	R-Line
R6-1	R-Line	RF82-542	R-Line
R1-1	R-Line	RF80-533	R-Line
R2-1	R-Line	RF80-420/1/1	R-Line
R5-1	R-Line	RF81-30	R-Line
R10-1	R-Line	RF81-65	R-Line
R7-1	R-Line	RF81-1-6-1	R-Line
R3-2	R-Line	RF81-1/2	R-Line

B-Line: Maintainer line

A-Line: Cytoplasmic male sterile line

R-Line: Fertility restorer line

B-Line: لاین نگهدارنده نر عقیمی

A-Line: لاین نر عقیم سیتوپلاسمی

R-Line: لاین بازگرداننده باروری

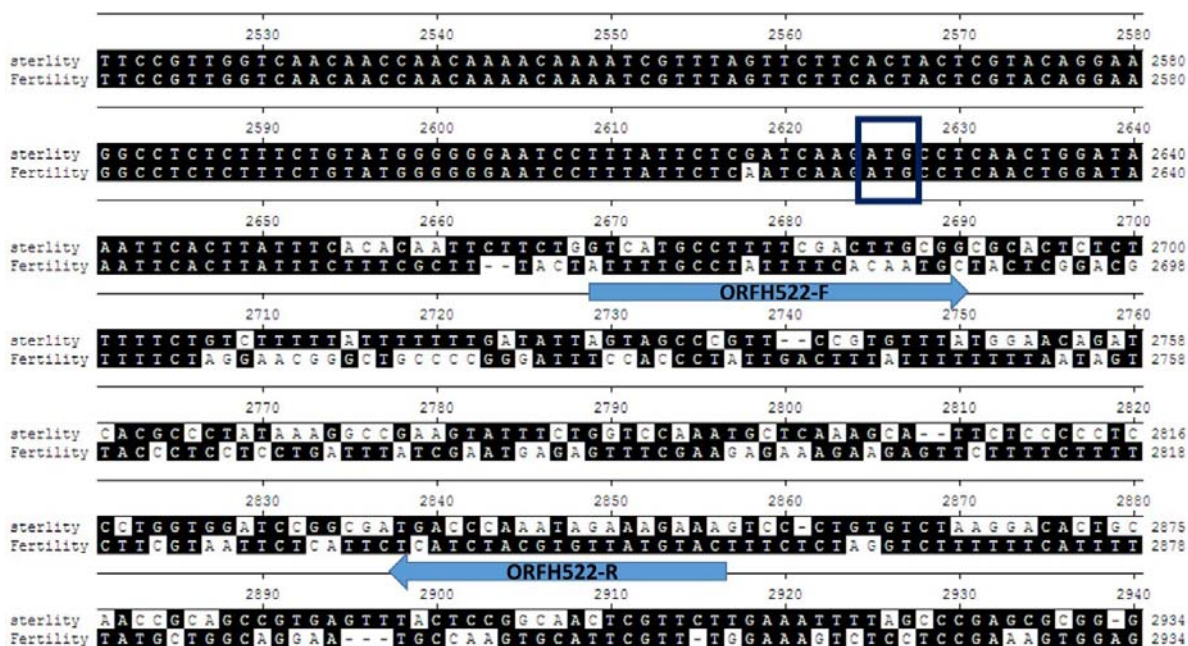
جدول ۲- آغازگرهای طراحی شده بر مبنای *ORFH522* برای شناسایی لاین‌هایی با سیتوپلاسم نر عقیم

Table 2. Designed primers based on *ORFH522* to identify lines bearing male sterile cytoplasm

نام آغازگر Primer name	توالی آغازگر Primer sequence	نوع آغازگر Primer sort
ORFH522-F	5'-AGTAGCCCGTTCGTTTAA-3'	مستقیم Forward
ORFH522-R	5'-AGAACGAGTTGCCGGAGTAA-3'	معکوس Reverse

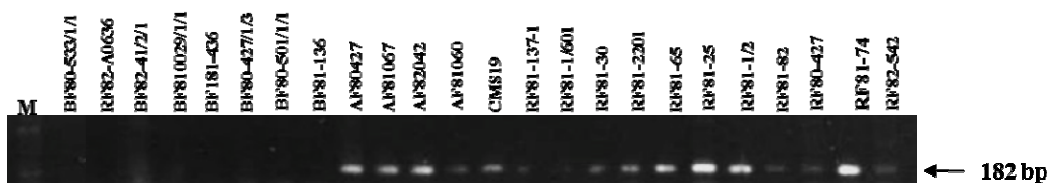
با سیتوپلاسم غیرعقیم مشاهده نمی‌شود.  
مطابق انتظار، جفت آغازگرهای مذکور قادر  
بودند بین لاین‌هایی با سیتوپلاسم نر عقیم و  
نر بارور تمایز ایجاد کنند (شکل ۲) در لاین‌های

اختلاف بین ژنوم میتوکندری گیاه نر عقیم و  
بارور طراحی شد و به همین دلیل است که  
DNA به طول ۱۸۲ جفت‌باز در گیاهان نر عقیم  
تکثیر می‌شود در حالی که تکثیر آن در گیاهان



شکل ۱- هم‌ردیفی انتهای ۳' ژن *atpA* در گیاه نرعیتم (توالی بالایی با شماره دسترسی X55963) و نربارور (توالی زیرین با شماره دسترسی X53537). همولوژی توالی‌ها با کادر سیاه‌رنگ نشان داده شده‌اند. مستطیل مشخص شده روی شکل، کدون آغاز ORFH522 را نشان می‌دهد. آغازگرهای پیشرو و معکوس با پیکان روی شکل نشان داده شده‌اند.

Fig. 1. Sequence alignment of 3' end of *atpA* gene in male sterile plant (upper sequence with accession number X55963) and male fertile plant (lower sequence with accession number X53537). The homology between sequences are shown in black boxes. The box in the sequences indicates the start codon of the ORFH522. Forward and reverse primers are shown with arrow.



شکل ۳- الگوی نواری نواری فرآورده‌های PCR با استفاده از آغازگرهای طراحی شده بر مبنای *ORFH522* آفتابگردان AF و CMS: لاین‌های نرعیتم، RF: لاین‌های بازگرداننده باروری و BF: لاین‌های نگهدارنده نرعیتمی. وجود نوار با اندازه ۱۸۲ جفت باز در تمامی لاین‌های نرعیتم و برگرداننده باروری مشهود است.

Fig. 3- Banding pattern of PCR products generated by designed primers based on ORFH522 in sunflower. AF and CMS: Cytoplasmic male sterile lines, RF: Restorer fertility lines, and BF: Maintainer lines. A band with 182 bp in length is observed for all CMS and RF lines. M stands for 50 bp DNA size ladder (Cinnaclone Co.).

می‌شود. با این حال وضعیت سیتوپلاسم نتاج تا زمان آشکار شدن گل‌ها به طور قاطع مشخص نیست، زیرا امکان اختلاط‌های ناخواسته همواره وجود دارد. در اختیار بودن ابزاری برای متمایز کردن نتاج نرعقیم از غیر نرعقیم در مراحل اولیه رشد، امکان مدیریت بهتر مواد ژنتیکی را (به جهت کاهش کاهش مواد) فراهم می‌کند و باعث کاهش هزینه‌های کاشت و داشت می‌شود. بر اساس نتایج حاصل از این بررسی، با انجام یک PCR با استفاده از آغازگرهای طراحی شده در این تحقیق و مشاهده نواری با اندازه ۱۸۲ جفت باز، که فقط در لاین‌های با سیتوپلاسم نرعقیم PET1 قابل حصول است و لاین‌های با سیتوپلاسم نربارور فاقد آن هستند، قادر به اعلام نظر سریع در خصوص حضور و یا عدم حضور سیتوپلاسم نرعقیم در لاین‌های مورد نظر بودیم. بنابراین بدون نیاز به صرف زمان برای عملیات داشت در مراحل اولیه رشد گیاهچه‌ها، قادر به تشخیص نوع سیتوپلاسم آن‌ها خواهیم بود. همچنین مشخص شد که لاین‌های بازگرداننده باروری مورد بررسی همگی از خودگشتی هیبریدهای تجاری به دست آمده‌اند. مواردی از شناسایی نشانگرهای مولکولی مبتنی بر توالی برای تشخیص سیتوپلاسم نرعقیم PET1 در آفتابگردان گزارش شده است. ولی این گزارش‌ها با استفاده از تعداد بسیار محدودی لاین انجام شده است. برای مثال شنابل و همکاران (Schnabel *et al.*, 2008) با طراحی نشانگری مبتنی بر توالی لوکوس‌های دخیل در

نرعقیم (CMS19، AF81060، AF82042، AF81067 و AF80427) نواری با طول ۱۸۲ جفت‌باز تکثیر شد در حالی که این تکثیر در لاین‌های نگهدارنده (BF810029/1/1، BF80-533/1/1، BF181-436، BF81-136، BF80-427/1/3، BF80-501/1/1 و BF82-41/2/1) رخ نداد و این موضوع نشان‌دهنده وجود توالی تکثیری در لاین‌های واجد سیتوپلاسم نرعقیم است. مشخصه لاین‌های بازگرداننده باروری، وجود ژن بازگرداننده باروری در هسته آن‌ها است. سیتوپلاسم این لاین‌ها می‌تواند نرعقیم یا نربارور باشد ولی به دلیل این که بیشتر منبع استخراج لاین‌های بازگرداننده باروری در ایران هیبریدهای تجاری است، در نتیجه سیتوپلاسم آن‌ها نرعقیم خواهند بود. نتایج به دست آمده از این نشانگر همچنین مشخص کرد که همه لاین‌های بازگرداننده باروری مورد بررسی، دارای سیتوپلاسم نرعقیم نیز هستند.

تولید هیبرید آفتابگردان در سطح تجاری مستلزم فراهم آوردن لاین‌های مادری نرعقیم و پدری بازگرداننده باروری است. در برنامه اصلاحی آفتابگردان ایران، هر ساله تعداد زیادی لاین اینبرد تولید می‌شود که پس از ارزیابی‌های ترکیب‌پذیری، در مسیر تبدیل به والد پدری (رستورر لاین) و یا والد مادری (لاین با سیتوپلاسم نرعقیم) وارد می‌شوند. در مسیر تبدیل لاین‌های اینبرد به نرعقیم، لاین مطلوب با یک لاین واجد سیتوپلاسم نرعقیم تلاقی داده



تجاری و ژنوتیپ‌های آجیلی چندشاخه آفتابگردان باشد. بیان این نکته ضروری است که اساساً ژنوتیپ‌های چندشاخه آجیلی به دلیل نیاز به تولید دانه، فاقد سیتوپلاسم نرعقیم هستند. پس با استفاده از اطلاعات سیتوپلاسم ژنوتیپ‌های چندشاخه که به کمک نشانگر طراحی شده در این تحقیق قابل حصول است، می‌توان در خصوص ماهیت چندشاخگی (چندشاخگی حاصل از خودگشنی هیبریدهای تجاری و چندشاخگی موجود در ژنوتیپ‌های آجیلی) اعلام نظر کرد. این موضوع می‌تواند برای اثبات کیفیت مزارع تولید بذر لاین‌های بازگرداننده باروری و عدم حضور ژنوتیپ‌های چندشاخه آجیلی که توسط مؤسسه تحقیقات ثبت و گواهی بذر و نهال انجام می‌شود، مورد استفاده قرار گیرد.

در این مقاله، با استفاده از اطلاعات مولکولی لوکوس مسبب نرعقیمی سیتوپلاسمی (سیتوپلاسم PET1) و انجام واکنش PCR، دو موضوع کاربردی مرتبط با تولید هیبرید آفتابگردان در برنامه‌های به‌نژادی و نیز کنترل مزارع تولید بذر این گیاه برای تولید در سطح تجاری مطرح شد که قابلیت کاربرد عملی دارند. به‌منظور تأیید نتایج این تحقیق لازم است آزمون PCR با استفاده از آغازگرهای طراحی شده در مطالعه حاضر بر روی تعداد بیشتری لاین نرعقیم، بازگرداننده باروری و نگه‌دارنده و چندین لاین آجیلی چندشاخه بررسی شود.

نرعقیمی سیتوپلاسمی در آفتابگردان، قادر به متمایز کردن سیتوپلاسم PET1 از سیتوپلاسم نربارور بودند. در پژوهش یاد شده، نشانگر طراحی شده با ایجاد نواری به اندازه ۵۲۰ جفت باز قادر به متمایز کردن لاینی با سیتوپلاسم نرعقیم PET1 از یک لاین با سیتوپلاسم نرعقیم PEF1 و یک لاین با سیتوپلاسم نربارور بود. در حالی که در پژوهش حاضر، نواری با اندازه ۱۸۲ جفت باز قادر به متمایز کردن سیتوپلاسم PET1 از سیتوپلاسم نربارور در تعداد زیادی لاین بود.

خالص سازی لاین‌های بازگرداننده باروری از موضوعات چالش‌برانگیز در تولید والدین هیبریدهای آفتابگردان است. وجود چند شاخگی از ویژگی‌های مطلوب لاین‌های مذکور است که در مراحل استخراج این لاین‌ها از هیبریدهای تجاری و نسل‌های خودگشنی متعاقب آن، مورد توجه قرار می‌گیرد. از سوی دیگر اغلب ژنوتیپ‌های آجیلی آفتابگردان نیز دارای صفت چند شاخگی هستند. تمایز بین این دو گروه مواد ژنتیکی چندشاخه مستلزم یک نسل تلاقی آزمون با یک لاین نرعقیم است. لاین‌های چندشاخه‌ای که از خودگشنی هیبریدهای تجاری به دست آمده‌اند دارای سیتوپلاسم نرعقیم هستند، بنابراین بر اساس نتایج این تحقیق بایستی دارای نوار ۱۸۲ جفت بازی در فرآورده‌های حاصل از PCR باشند. بنابراین، این نوار می‌تواند متمایزکننده لاین‌های چندشاخه حاصل از خودگشنی هیبریدهای

اصلاح و تهیه نهال و بذر انجام شد که  
بدین وسیله تشکر و قدردانی می‌شود.

سپاسگزاری  
این پژوهش در آزمایشگاه مولکولی بخش  
تحقیقات دانه‌های روغنی مؤسسه تحقیقات

## References

- Balk, J., and Leaver, C. J. 2001.** The PET1-CMS mitochondrial mutation in sunflower is associated with premature programmed cell death and cytochrome c release. *The Plant Cell* 13: 1803-1818.
- Chase, C. D. 2007.** Cytoplasmic male sterility: a window to the world of plant mitochondrial-nuclear interactions. *Trends in Genetics* 23:81-90.
- Chen, L., and Liu, Y. G. 2014.** Male sterility and fertility restoration in crops. *Annual Review of Plant Biology* 65: 579-606.
- Gong, L., Li, C., Capatana, A., Feng, J., Qi, L., Seiler, G. J., and Jan, C. C. 2014.** Molecular mapping of three nuclear male sterility mutant genes in cultivated sunflower (*Helianthus annuus* L.). *Molecular Breeding* 34: 159-166.
- Horn, R. 2002.** Molecular diversity of male sterility inducing and male-fertile cytoplasm in the genus *Helianthus*. *Theoretical and Applied Genetics* 104: 562-570.
- Horn, R., Köhler, R. H., and Zetsche, K. 1991.** A mitochondrial 16 kDa protein is associated with cytoplasmic male sterility in sunflower. *Plant Molecular Biology* 17: 29-36.
- Kaul, M. L. H. 1998.** *Male Sterility in Higher Plants*: Springer-Verlag Berlin Heidelberg. 1005 p.
- Kofer, W., Glimelius, K., and Bonnett, H. T. 1991.** Modifications of mitochondrial DNA cause changes in floral development in homeotic-like mutants of tobacco. *The Plant Cell* 3: 759-769.
- Köhler, R. H., Horn, R., Lössl, A., and Zetsche, K. 1991.** Cytoplasmic male sterility in sunflower is correlated with the co-transcription of a new open reading frame with the *atpA* gene. *Molecular and General Genetics* 227: 369-376.
- Laver, H. K., Reynolds, S. J., Moneger, F., and Leaver, C. J. 1991.** Mitochondrial genome organization and expression associated with cytoplasmic male sterility in sunflower (*Helianthus annuus*). *The Plant Journal* 1: 185-193.

- Leclercq, P. 1969.** Une stérilité male cytoplasmique chez le Tournesol (*Helianthus annuus* L.). Annals Amélior Plant 19: 99-106 (in French).
- Li, J. T., Yang, J., Chen, D. C., Zhang, X. L., and Tang, Z. S. 2007.** An optimized mini-preparation method to obtain high-quality genomic DNA from mature leaves of sunflower. Genetics and Molecular Research 6: 1064-1071.
- Moneger, F., Smart, C. J., and Leaver, C. J. 1994.** Nuclear restoration of cytoplasmic male sterility in sunflower is associated with the tissue-specific regulation of a novel mitochondrial gene. The EMBO Journal 13: 8-17.
- Nakai, S., Noda, D., Kondo, M., and Terachi, T. 1995.** High-level Expression of a Mitochondrialorf 522 Gene from the Male-sterile Sunflower is Lethal to *E. coli*. Japanese Journal of Breeding 45: 233-236.
- Pérez-Vich, B., Berry, S. T., Velasco, L., Fernandez-Martinez, J. M., Gandhi, S., Freeman, C., Heesaker, A., Knapp, S. J., and Leon, A. J. 2005.** Molecular mapping of nuclear male sterility genes in sunflower. Crop Science 45: 1851-1857.
- Sabar, M., Gagliardi, D., Balk, J., and Leaver, C. J. 2003.** ORFB is a subunit of F1F(O)-ATP synthase: insight into the basis of cytoplasmic male sterility in sunflower. EMBO Reports 4: 381-386.
- Schnable, P. S., and Wise, R. P. 1998.** The molecular basis of cytoplasmic male sterility and fertility restoration. Trends in Plant Science 3: 175-180.
- Schnabel, P. S., Engelmann, U., and Horn, R. 2008.** Development of markers for the use of the PEF1 cytoplasm in sunflower hybrid breeding. Plant Breeding 127: 587-591.
- Serieys, H., and Vincourt, P. 1987.** Characterization of some new CMS sources from *Helianthus* genus. Helia 10: 9-13
- Serieys, H. 1999.** Identification, study, and utilization in breeding programs of new CMS sources. FAO progress report. Helia 22 (special issue): 71-84.
- Yue, B., Vick, B. A., Cai, X., and Hu, J. 2010.** Genetic mapping for the *Rfl* (fertility restoration) gene in sunflower (*Helianthus annuus* L.) by SSR and TRAP markers. Plant Breeding 129: 24-28.
- Zubko, M. K. 2004.** Mitochondrial tuning fork in nuclear homeotic functions. Trends in Plant Science 9: 61-64.